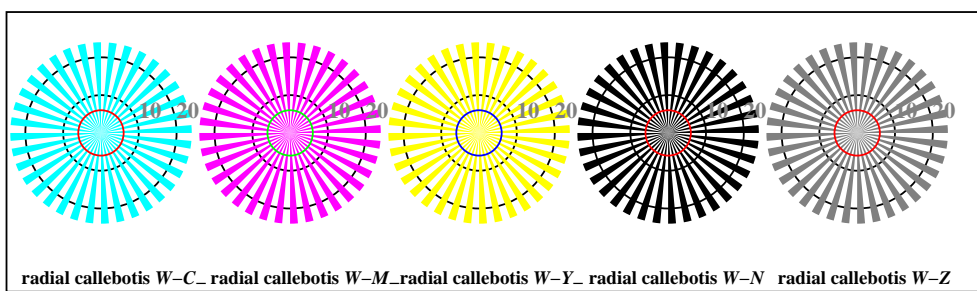


TF951-1, Fig. B4W-: 16 équidistants étapes  $W-C_-$ ;  $W-M_-$ ;  $W-Y_-$ ;  $W-N$ ;  $rgb/cmky0$  set( $rgb/cmky$ )color

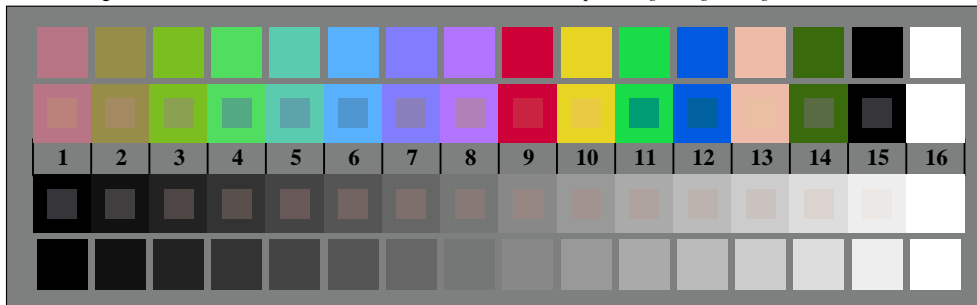
+--.	lmno	pqrs	tuvw
xyz;	hijk	lmno	pqrs
tuvw	defg	hijk	lmno
pqrs	!abc	+--.	hijk
lmno	xyz;	xyz;	+--.
hijk	tuvw	tuvw	defg
defg	pqrs	!abc	!abc
!abc	8	6	N C_M_Y_Z
10	N C_M_Y_Z		

TF951-3, Fig. B5W-: code et Landolt anneauN;  $C_-$ ;  $M_-$ ;  $Y_-$ ;  $Z$ ; PS operator  $rgb \rightarrow rgb\_setrgbcolor$

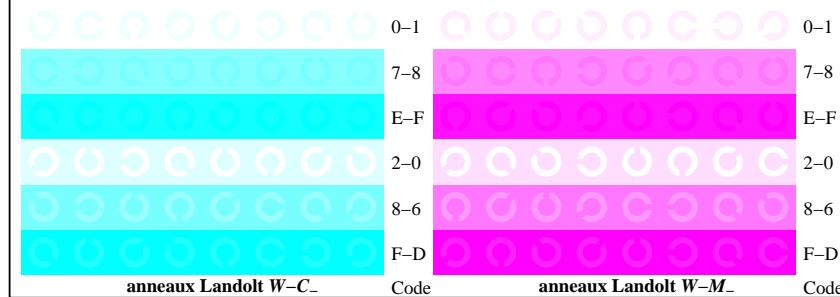


radial calibotis  $W-C_-$  radial calibotis  $W-M_-$  radial calibotis  $W-Y_-$  radial calibotis  $W-N$  radial calibotis  $W-Z$

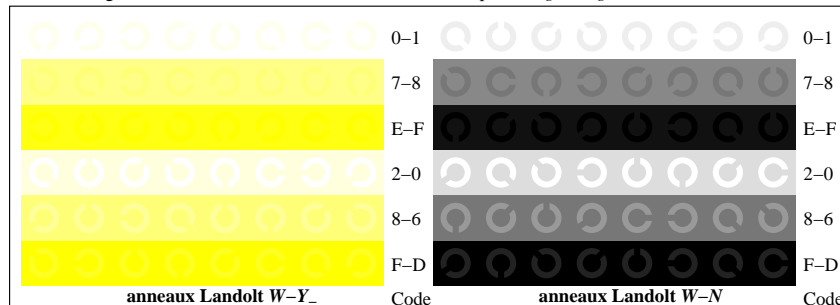
TF950-5, Fig. B2W-: radial calibotis  $W-C_-$ ;  $W-M_-$ ;  $W-Y_-$ ;  $W-N$ ; PS operator  $rgb \rightarrow rgb\_setrgbcolor$



TF950-7, Fig. B3W-: 14 CIE test couleurs et 2 + 16 gris étapes (sf);  $rgb/cmky0$  set( $rgb/cmky$ )color



TF951-5, Fig. B6W-: anneaux Landolt  $W-C_-$ ;  $W-M_-$ ; PS operator  $rgb$  setrgbcolor



TF951-7, Fig. B7W-: anneaux Landolt  $W-Y_-$ ;  $W-N$ ; PS operator  $rgb$  setrgbcolor